

©1995 г.

## ИСПОЛЬЗОВАНИЕ ЗОНА-ЗОННОЙ ПОДСВЕТКИ ДЛЯ ОПРЕДЕЛЕНИЯ ПАРАМЕТРОВ УРОВНЕЙ В МЕТОДЕ ШУМОВОЙ СПЕКТРОСКОПИИ

*М.Е.Левинштейн, С.Л.Румянцев*

Физико-технический институт им. А.Ф. Иоффе Российской академии наук,  
194021, Санкт-Петербург, Россия  
(Получена 30 июня 1994 г. Принята к печати 6 июля 1994 г.)

Проанализировано влияние зона-зонной подсветки на генерационно-рекомбинационный шум, обусловленный наличием локального уровня в запрещенной зоне полупроводника.

Показано, что зона-зонная подсветка, создающая в объеме полупроводника подвижные неосновные носители, позволяет непосредственно судить о том, захватит ли сечение захвата носителей  $\sigma$  от температуры экспоненциально ( $\sigma = \sigma_0 \exp(E_1/kT)$ ). В случае экспоненциальной зависимости сечения от температуры зона-зонная подсветка позволяет определить параметры уровня даже для случая, когда энергия активации  $E_1$  значительно больше, чем глубина залегания уровня  $E_0$ . В этом случае ( $E_1 \gg E_0$ ) обычные методы обработки данных шумовых измерений позволяют (без использования подсветки) определить только значение  $E_1$ .

Для предельных случаев, когда исследуемый уровень лежит значительно ниже уровня Ферми  $E_F$  ( $E_0 - E_F \gg kT$ ) или значительно выше ( $E_F - E_0 \gg kT$ ), предложены простые аналитические выражения, описывающие влияние подсветки на уровень шума. Проведены численные расчеты, подтверждающие справедливость полученных аналитических выражений.

Метод шумовой спектроскопии локальных уровней широко используется в тех случаях, когда использование наиболее распространенного метода, DLTS, становится затруднительным или невозможным. К таким случаям относится исследование уровней с очень малым сечением захвата  $\sigma \leq 10^{-20}$  см<sup>-2</sup>, уровней в высокоомных и полуизолирующих полупроводниках, резонансных уровней в разрешенных зонах (см., например, [1-6]).

Весьма часто сечение захвата уровней, идентифицируемых методом шумовой спектроскопии, экспоненциально зависит от температуры:  $\sigma = \sigma_0 \exp(E_1/kT)$  [1,2,4,6,7]. В таких условиях обработка экспериментальных результатов стандартным способом, с помощью построения прямых Аррениуса, приводит к грубым ошибкам в определении глубины залегания уровня  $E_0$ , а иногда и к качественно неверным результатам (см. соответствующий анализ в работе [8]).

Недавно в работе [8] был предложен новый метод определения параметров уровней из результатов шумовых измерений, позволяющий в условиях экспоненциальной зависимости сечения захвата от температуры определять все основные параметры локального уровня: глубину залегания  $E_0$ , энергию  $E_1$ , сечение  $\sigma_0$  и концентрацию примесных центров  $N_t$ .

Предложенный в работе [8] метод состоит в следующем.

Рассматривается типичная экспериментальная ситуация. Полупроводник (для определенности  $n$ -типа проводимости) легирован мелкой примесью с концентрацией  $N_d$ , значительно превосходящей концентрацию всех других уровней. Во всем рассматриваемом температурном диапазоне мелкие доноры полностью ионизованы ( $n_0 = N_d$ ). Положение уровня Ферми  $E_F$  в запрещенной зоне определяется выражением

$$E_F = kT \cdot \ln \frac{N_c}{N_d}, \quad (1)$$

где  $N_c$  — эффективная плотность состояний в зоне проводимости. В запрещенной зоне полупроводника существует локальный уровень с глубиной залегания  $E_0$  и концентрацией  $N_t$ . Флуктуации заселенности этого уровня определяют наблюдаемые флуктуации сопротивления.

Пусть результаты измерений представлены в виде зависимости относительной спектральной плотности шума от температуры  $S(T)$  для нескольких частот анализа (рис. 1). Такая форма представления результатов достаточно типична [4,7,9–11].

В одном из двух рассмотренных в работе [8] предельных случаев, когда уровень Ферми в температурном диапазоне измерений лежит ниже уровня  $E_0$  ( $E_F \gg E_0$ , уровень практически пуст), выражение для спектральной плотности шума  $S$  имеет вид [8]

$$S = \frac{S_R}{R^2} = \frac{S_I}{I^2} \cong A\tau_0^2 \frac{F^2 e^{(E_1/kT)}}{1 + \omega_0^2 \tau_0^2 F^2 e^{(2E_1/kT)}}, \quad (2)$$

где  $A = 4N_t/VN_d^2$ ,  $V$  — объем образца,  $\omega = 2\pi f$  — круговая частота,  $f$  — частота анализа,  $\tau_0 = (\sigma_0 v_t n_0)^{-1}$ ,  $v_t$  — тепловая скорость электро-

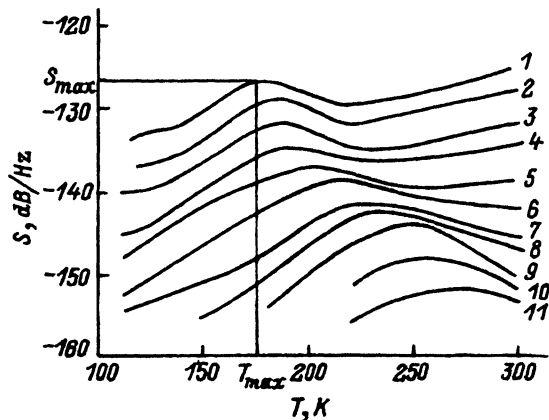


Рис. 1. Температурная зависимость спектральной плотности шума для GaAs с концентрацией мелких доноров  $N_d = 10^{15} \text{ см}^{-3}$  [4]. Частота анализа  $f = \omega/2\pi$ , Гц: 1 — 20, 2 — 40, 3 — 80, 4 — 160, 5 — 320, 6 — 640, 7 — 1280, 8 — 2500, 9 —  $5 \cdot 10^3$ , 10 —  $10^4$ , 11 —  $2 \cdot 10^4$ .

нов,  $F$  — функция заполнения уровня,

$$F = \frac{1}{1 + e^{[(E_F - E_0)/kT]}}. \quad (3)$$

Предполагается, что энергия отсчитывается от два зоны проводимости вниз к валентной зоне.

В рассматриваемом случае ( $E_F \gg E_0$ )

$$F \cong \frac{N_d}{N_c} e^{E_0/kT} \ll 1. \quad (4)$$

Как показано в работе [8], температура  $T_{\max}$  для частоты анализа  $\omega = 2\pi f$  (см. рис. 1) может быть определена из условия

$$\frac{1}{kT_{\max}} = \frac{1}{2(E_0 + E_1)} \ln \frac{2E_0 + E_1}{E_1 \omega^2 \tau_0^2 (N_d/N_c)^2}. \quad (5)$$

Из выражения (5) следует, что при  $E_1 \gg E_0$  для каждой частоты наблюдения  $\omega$  условию  $T = T_{\max}$  соответствует равенство  $\omega\tau = 1$ , где  $\tau = \tau_0 F \exp(E_1/kT_{\max})$  — постоянная времени релаксации уровня при отклонении заполнения от равновесного значения. Интересно отметить, что во многих работах, где при анализе экспериментальных результатов температурной зависимостью сечения захвата пренебрегается (т.е. предполагается, что  $E_1 = 0$ ), также принимается, что  $\omega\tau = 1$  при  $T = T_{\max}$  (см., например, [7,9]). Между тем при  $E_1 = 0$  такое предположение неверно и может приводить к существенной погрешности при определении глубины залегания уровня  $E_0$  (см. Приложение).

Используя (5), из выражения (2) легко найти значение  $S_{\max}$  в максимуме на частоте  $\omega$  при температуре  $T_{\max}$ :

$$S_{\max} = \frac{A \tau_1^2 \left( \frac{2E_0 + E_1}{\omega^2 \tau_1^2 E_1} \right)^{(2E_0 + E_1)/(2E_0 + 2E_1)}}{\tau_0 \left( 1 + \frac{2E_0 + E_1}{E_1} \right)}, \quad (6)$$

где  $\tau_1 = \tau_0 (N_d/N_c)$ .

Из выражения (5) следует, что зависимость  $1/kT_{\max}$  от  $\ln \omega$  представляет собой в рассматриваемом случае прямую линию, тангенс угла наклона которой к оси абсцисс равен  $1/(E_1 + E_0)$ . Из выражения (6) видно, что наклон прямой зависимости  $\ln S_{\max}$  от  $\ln \omega$  равняется  $(2E_0 + E_1)/(E_0 + E_1)$ . Таким образом, построив для нескольких частот анализа зависимости  $1/kT_{\max}$  от  $\ln \omega$  и  $\ln S_{\max}$  от  $\ln \omega$ , можно определить раздельно энергию активации  $E_1$  и глубину залегания уровня  $E_0$ . Затем из выражений, приведенных в [8], определяются значения  $\sigma_0$  и  $N_t$ .

Заметим, что в рассматриваемом предельном случае наклон зависимости  $\ln S_{\max}$  от  $\ln \omega$  лежит в пределах от 1 до 2 в зависимости от соотношения  $E_1$  и  $E_0$ . При  $E_1 \ll E_0$  зависимость  $S_{\max}$  от  $\omega$  близка к виду  $S_{\max} \propto 1/\omega^2$ . При  $E_1 \gg E_0$   $S_{\max} \propto 1/\omega$ . В последнем случае и зависимость  $1/kT_{\max}$ , и зависимость  $\ln S_{\max}$  от  $\ln \omega$  определяются практически только величиной  $E_1$ . В этом случае величина  $E_0$  предположенным методом определена быть не может.

В противоположном предельном случае, когда уровень Ферми во всем температурном диапазоне измерений лежит выше уровня  $E_0$  ( $E_F \ll E_0$ , уровень практически заполнен), выражение для  $S$  имеет вид

$$S \simeq A\tau_0 \frac{e^{E_1/kT}(1-F)}{1 + \omega^2 \tau_0^2 e^{2E_1/kT}}. \quad (7)$$

Температура  $T_{\max}$  определяется выражением

$$\frac{1}{kT_{\max}} = \frac{1}{2E_1} \ln \frac{(E_1 - E_0)}{(E_1 + E_0)\omega^2 \tau_0^2}. \quad (8)$$

Величина  $S_{\max}$  при температуре  $T_{\max}$  равняется

$$S_{\max} = \frac{A\tau_0 \frac{N_c}{N_d} \left( \frac{E_1 - E_0}{(E_1 + E_0)\omega^2 \tau_0^2} \right)^{(E_1 - E_0)/2E_1}}{1 + \frac{E_1 - E_0}{E_1 + E_0}}. \quad (9)$$

При  $E_1 < E_0$  в этом случае максимум на зависимости  $S(T)$  отсутствует. При  $E_1 > E_0$  наклон зависимости  $1/kT_{\max}$  от  $\ln \omega$  определяется величиной  $E_1$ , наклон зависимости  $\ln S_{\max}$  от  $\ln \omega$  — величиной  $(E_1 - E_0)/E_1$  [8]. Очевидно, что при  $E_1 \gg E_0$  в этом, как и в предыдущем, случае  $S_{\max} \propto 1/\omega$ . При уменьшении отношения  $E_1/E_0$  наклон зависимости  $S_{\max}(\omega)$  уменьшается, стремясь к нулю при  $E_1/E_0$ , стремящемся к единице.

Как показывает проделанный в [8] анализ многочисленных экспериментальных данных, случай, когда  $E_1 \gg E_0$ , реализуется экспериментально достаточно часто. В этом случае предложенная в [8] методика не позволяет определить глубину залегания уровня  $E_0$ . Более того, из приведенных выше результатов ясно, что в этом случае из данных шумовой спектроскопии трудно даже судить, выше или ниже уровня Ферми находится исследуемый уровень.

Покажем, что использование зона-зонной подсветки может позволить уточнить глубину залегания уровня  $E_0$ .

Ранее слабая зона-зонная подсветка ( $\Delta\sigma \ll \sigma_0$ , где  $\Delta\sigma$  — фотопроводимость при подсветке,  $\sigma_0$  — темновая проводимость) была использована в ряде работ для определения природы шума  $1/f$  в Si и GaAs (см. соответствующие ссылки в работе [12]). Было показано, что возникающие при межзонной подсветке неосновные носители (дырки), захватываясь на уровни, ответственные за низкочастотный шум в полупроводниках, способны сильно изменить функцию заполнения уровней  $F$  даже при  $\Delta\sigma/\sigma \leq 10^{-3} \div 10^{-5}$ . Изменение  $F$  влечет за собой изменение уровня шума.

Как показано в работе [13], в присутствии подсветки при концентрации свободных дырок  $p$  выражение для спектральной плотности шума сохраняется при замене  $F$  на  $F^*$ , где

$$F^* = \frac{1}{1 + \beta F} = \frac{1}{1 + \beta + e^{(E_F - E_0)/kT}}, \quad (10)$$

$\beta = \tau_0/\tau_p$ ,  $\tau_p = (\eta p)^{-1}$ ,  $\eta$  — вероятность захвата дырки на рассматриваемый уровень в единицу времени в единице объема.

Параметр  $\beta$ , пропорциональный концентрации свободных дырок  $p$ , при малых уровнях подсветки ( $\Delta n \ll n_0$ ) пропорционален, очевидно, интенсивности освещения  $J$ . Заметим, что концентрация подвижных дырок  $p$  определяется не только захватом на данный уровень, но и захватом на все рекомбинационные уровни в материале. Заметим также, что концентрация подвижных дырок может быть значительно меньшей, чем концентрация избыточных электронов  $\Delta n$ , определяющая фотопроводимость (см., например, [14,15]).

Снова вернемся к случаю, когда уровень Ферми лежит ниже исследуемого уровня (уровень практически пуст). Пусть из темновых измерений определена температура  $T_{\max}$  и амплитуда шума  $S_{\max}$  на данной частоте  $\omega$ . При температуре  $T_{\max}$  осуществим слабую зона-зонную подсветку образца. Изменение шума будет определяться величиной и знаком производной  $dS_{\max}/d\beta$ . Заменяя в выражении (2)  $F$  на  $F^*$  и используя (5), получим

$$\frac{dS_{\max}}{d\beta} = -\frac{A\tau_0}{2} \left(\frac{N_d}{N_c}\right)^3 e^{(3E_0+E_1)/kT_{\max}}. \quad (11)$$

Шум уменьшается с увеличением интенсивности подсветки.

На рис. 2 и 3 показаны результаты численных расчетов влияния зона-зонной подсветки на шумовые спектры уровня, экспериментально наблюдавшегося в работе [4]. Уровень, обусловленный, по-видимому, структурными дефектами, наблюдался в работе [4] в  $n$ -GaAs с концентрацией электронов  $n_0 = 10^{15} \text{ см}^{-3}$  в диапазоне температур 170–250 К (рис. 1). Уровень характеризуется глубиной залегания  $E_0 \cong 0.1 \text{ эВ}$ , экспоненциальной температурной зависимостью сечения захвата  $\sigma$  и очень малым ( $\sigma = 10^{-19} \div 10^{-21} \text{ см}^2$ ) значением сечения в исследованном температурном диапазоне.

При расчете использовались экспериментальные данные для объема образца  $V = 5 \cdot 10^{-8} \text{ см}^3$ , концентрации доноров  $N_d = 10^{15} \text{ см}^{-3}$ , глубины залегания уровня  $E_0 = 0.1 \text{ эВ}$ . Величины  $E_1 = 0.25 \text{ эВ}$ ,  $N_t = 5 \cdot 10^{12} \text{ см}^{-3}$  и  $\sigma_0 = 5 \cdot 10^{-14} \text{ см}^2$  определены из экспериментальных данных по методике, описанной в [8]. Расчет проделан с учетом температурной зависимости тепловой скорости электронов  $v_t$  ( $v_t \propto T^{1/2}$ ) и плотности состояний  $N_c$  ( $N_c \propto T^{3/2}$ ) по общей формуле для спектральной плотности шума. Значение  $N_c$  принималось равным  $N_c [\text{см}^{-3}] = 3.9 \cdot 10^{17} (T [\text{К}]/300)^{3/2}$ , величина тепловой скорости —  $v_t [\text{см/с}] = 4.6 \cdot 10^7 (T [\text{К}]/300)^{1/2}$ . В GaAs с  $n_0 = 10^{15} \text{ см}^{-3}$  уровень Ферми лежит ниже исследуемого уровня ( $E_F > 0.1 \text{ эВ}$ ) при температурах  $T \geq 200 \text{ К}$ .

На вставке к рис. 2 показаны температурные зависимости  $S(T)$  в районе температур максимума  $T_{\max}$  для четырех частот анализа. Видно, что подсветка при  $T = T_{\max}$  подавляет шум. С ростом частоты анализа (повышением  $T_{\max}$ ) влияние подсветки на шум уменьшается.

На рис. 2 показаны зависимости  $S_{\max}$  от  $\beta$  для различных частот анализа. Видно, что при малых  $\beta$  уменьшение амплитуды шума с возрастанием  $\beta$  (увеличением интенсивности подсветки) остается линейным при достаточно больших изменениях  $S$ , которые легко могут быть

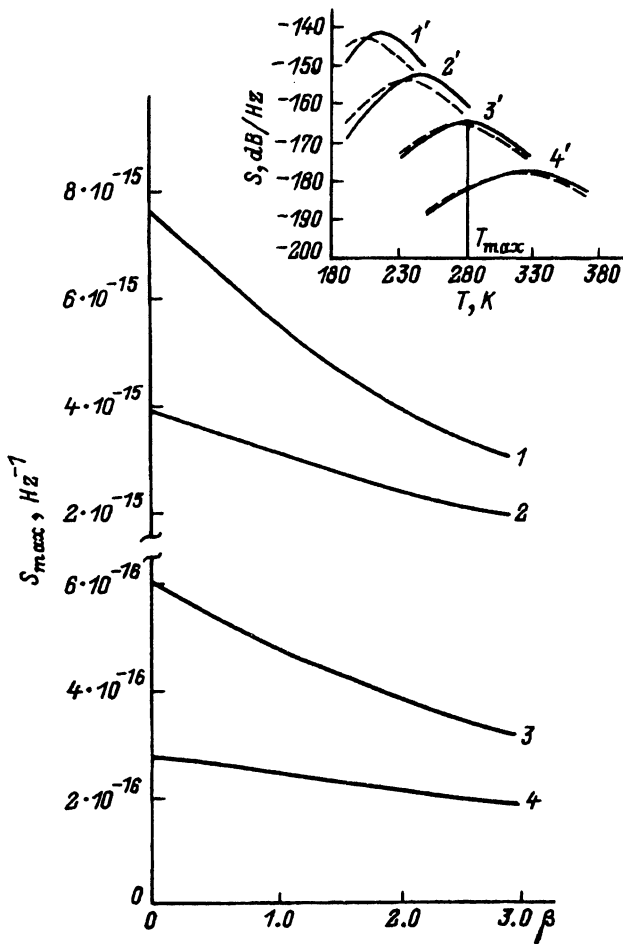


Рис. 2. Зависимость шума при температурах  $T_{\max}$  от  $\beta$  для различных частот анализа. Следует обратить внимание на разрыв в шкале по вертикальной оси и линейную шкалу для значений  $S$ .

Частоты анализа  $f = \omega/2\pi$ , Гц: 1 —  $10^3$ , 2 —  $2 \cdot 10^3$ , 3 —  $10^4$ , 4 —  $2 \cdot 10^4$ .

На вставке — расчетные температурные зависимости  $S(T)$  для различных частот анализа (ср. с экспериментальными зависимостями на рис. 1), сплошные линии — темновые зависимости, штриховые — расчет для  $\beta = 3$ , частота анализа  $f = \omega/2\pi$ , Гц: 1' —  $10^3$ , 2' —  $10^4$ , 3' —  $10^5$ , 4' —  $10^6$ .

измерены экспериментально. С дальнейшим увеличением  $\beta$  зависимость  $S(\beta)$  заметно насыщается.

Из выражения (11) следует, что если измерить значение  $\gamma = dS_{\max}/d\beta$  для нескольких частот анализа  $\omega = 2\pi f$  (т.е. для нескольких значений температуры  $T_{\max}$ ), а затем построить зависимость  $\ln \gamma$  от  $1/T_{\max}$ , то наклон прямой зависимости  $\ln \gamma$  от  $1/T_{\max}$  определится величиной  $3E_0 + E_1$  (рис. 3). На рис. 3 показана зависимость  $\ln \gamma$  от  $1/T_{\max}$ , рассчитанная для того же центра в GaAs, параметры которого анализировались выше. Видно, что при  $1000/T_{\max} \leq 4$  ( $T_{\max} \geq 250$  K) зависимость  $\ln \gamma$  от  $1/T_{\max}$  действительно близка к прямой. Определив

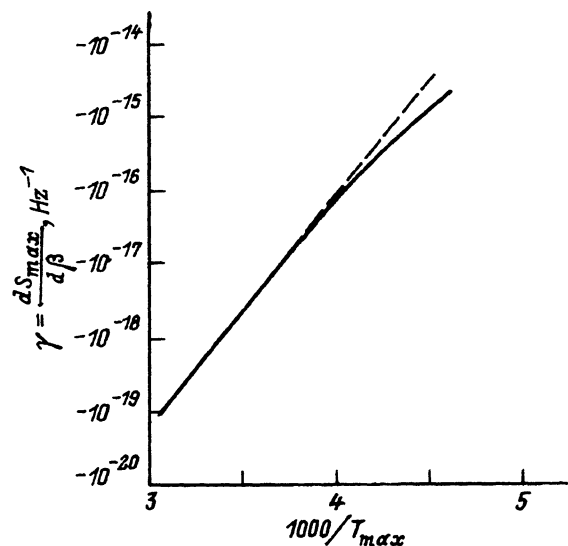


Рис. 3. Зависимость  $\gamma = (dS_{\max}/d\beta)$  от  $1000/T_{\max}$  (сплошная линия). Штриховая прямая соответствует тангенсу угла наклона к оси абсцисс, равному  $3E_0 + E_1$ .

значение  $\text{tg } \theta \approx 3E_0 + E_1$  и зная величину  $E_1$  из темновых измерений, можно найти глубину залегания уровня  $E_0$ . Заметим, что с практической точки зрения наличие множителя 3 перед  $E_0$  весьма важно. Как показывает опыт численных расчетов и анализа экспериментальных данных [8], при  $E_0 \leq 0.1E_1$  наклон темновой зависимости  $\ln S_{\max}$  от  $\ln \omega$ , определяемый величиной  $(2E_0 + E_1)/(E_0 + E_1) \leq 1.1$  (см. выражение (6)), при практически достижимой экспериментальной точности невозможно отличить от единицы. Однако наклон, соответствующий  $\text{tg } \theta \approx 1.3E_1$ , легко отличить от наклона, соответствующего величине  $\text{tg } \theta \approx E_1$ .

Важно заметить также, что для определения величины  $E_0$  указанным способом не нужно определять абсолютные значения  $\beta$ . Считая, что при малых  $\beta$  величина  $\beta$  пропорциональна интенсивности подсветки  $J$ , достаточно измерить значения  $dS_{\max}/dJ$  при нескольких частотах анализа и построить зависимость  $\ln(dS_{\max}/dJ)$  от  $1/T_{\max}$ . Из выражения (11) ясно, что наклон этой зависимости также равен  $3E_0 + E_1$ .

Рассмотрим теперь противоположный предельный случай, когда уровень Ферми лежит выше исследуемого уровня (уровень практически заполнен). Из выражения (9), с учетом (10) можно найти величину  $\gamma = dS_{\max}/d\beta$ :

$$\gamma = \frac{dS_{\max}}{d\beta} = A\tau_0 \frac{E_1 + E_0}{2E_1} e^{E_1/kT_{\max}}. \quad (12)$$

Видно, что в этом случае величина  $dS_{\max}/d\beta$  положительна. С ростом температуры величина  $\gamma$  убывает.

На рис. 4 показаны зависимости  $S_{\max}(\beta)$ , численно рассчитанные для уровня, наблюдавшегося в сильно легированном ( $N_d \cong 10^{17} \text{ см}^{-3}$ )  $n$ -GaAs в работе [16]. При расчете использовались экспериментальные данные для объема образца  $V = 2 \cdot 10^{-9} \text{ см}^3$  и концентрации доноров  $N_d = 10^{17} \text{ см}^{-3}$ , а также параметры уровня, установленные в работе [8]: глубина залегания  $E_0 = 0.07 \text{ эВ}$ , энергия активации сечения захвата

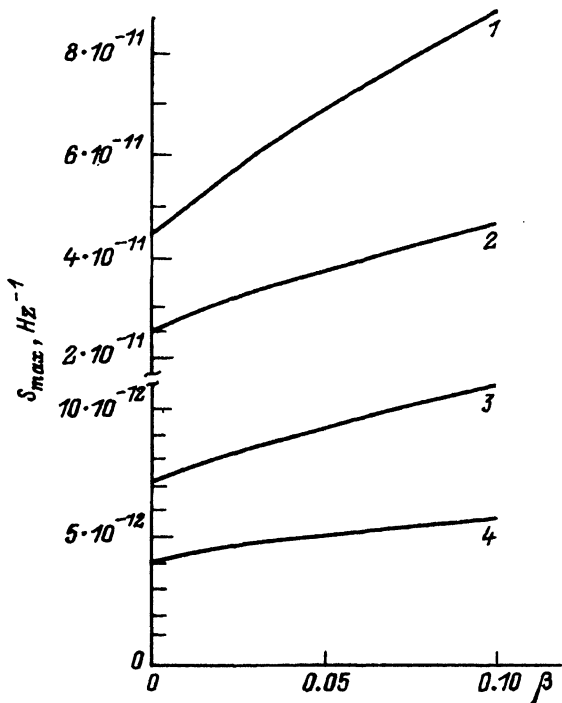
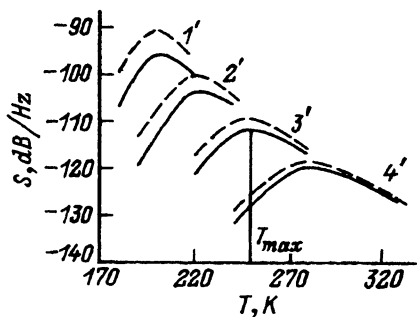


Рис. 4. Зависимости шума при температурах  $T_{\max}$  от  $\beta$  для частот анализа  $f = \omega/2\pi$ , Гц: 1 — 0.1, 2 — 0.2, 3 — 1, 4 — 2. На вставке — расчетные температурные зависимости  $S(T)$  для частот анализа  $f = \omega/2\pi$ , Гц: 1' —  $10^{-2}$ , 2' —  $10^{-1}$ , 3' — 1, 4' — 10. Сплошные линии — темновые зависимости, штриховые — расчет для  $\beta = 0.1$ .

$E_1 = 0.4 \text{ эВ}$ ,  $N_t = 5 \cdot 10^{15} \text{ см}^{-3}$  и  $\sigma_0 = 2 \cdot 10^{-16} \text{ см}^2$ . При  $T < 300 \text{ К}$  уровень лежит заметно ниже уровня Ферми и коэффициент заполнения  $F$  близок к единице. На вставке к рис. 4 показаны температурные зависимости  $S(T)$  в районе температур максимума  $T_{\max}$  для четырех частот анализа при одном и том же значении  $\beta = 0.1$ . Подсветка увеличивает шум. С ростом частоты анализа (с повышением  $T_{\max}$ ) влияние подсветки на шум уменьшается. Из рис. 4 видно, что при малых  $\beta$  шум растет линейно с  $\beta$  (с увеличением интенсивности подсветки) так, что величина  $dS_{\max}/d\beta$  может быть измерена экспериментально. Видно, что линейному росту  $S_{\max}(\beta)$  соответствуют гораздо меньшие, чем в противоположном предельном случае, величины  $\beta$  (ср. с рис. 2).

На рис. 5 показана зависимость  $\ln \gamma = \ln(dS_{\max}/d\beta)$  от  $1/T_{\max}$ , рассчитанная для анализируемого уровня. Видно, что при  $T_{\max} < 250 \text{ К}$



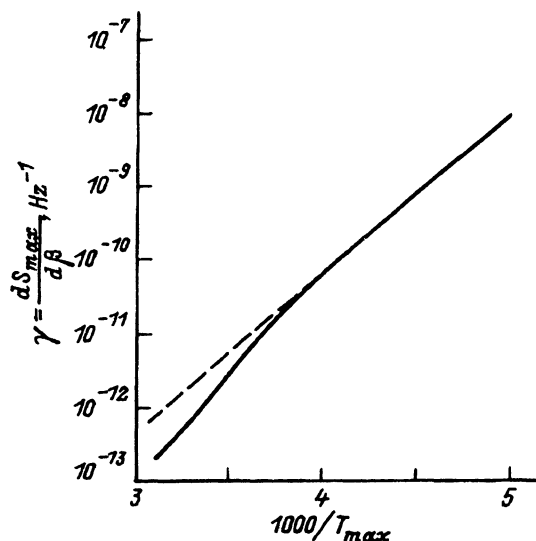


Рис. 5. Зависимость  $\gamma = (dS_{\max}/d\beta)$  от  $1000/T_{\max}$  (сплошная линия). Штриховая прямая соответствует тангенсу угла наклона к оси абсцисс, равному  $E_1$ .

зависимость представляет собой прямую линию. Легко проверить, что наклон прямой к оси абсцисс соответствует величине  $E_1 = 0.4 \text{ эВ}$ .

Таким образом, для обоих предельных случаев аналитические выражения (11) и (12) хорошо совпадают с результатами точных численных расчетов, проделанных по полной формуле для зависимости  $S(\omega, T)$  с учетом температурной зависимости  $v_t$  и  $N_c$ .

Использование зона-зонной подсветки может оказаться полезным также при определении глубины залегания уровня  $E_0$  в случае, когда в использованном температурном диапазоне уровень Ферми пересекает исследуемый уровень.

Для этого случая в работе [1] предложен метод определения величины  $E_0$ . Однако этот метод может быть использован только при соблюдении двух условий. Результаты шумовых измерений должны быть представлены в форме частотных зависимостей  $S(\omega)$  при различных температурах. Зависимость постоянной времени  $\tau$  от температуры должна быть измерена в достаточно широком диапазоне температур. К сожалению, выполнить второе условие удастся достаточно редко. Наблюдениям в широком температурном диапазоне мешают другие источники шума.

Между тем, когда результаты представлены в форме зависимостей  $S(T)$  при различных частотах анализа (рис. 1), характерные максимумы на зависимостях  $S(T)$  удается наблюдать даже тогда, когда проследить за зависимостью  $\tau(T)$  в сколько-нибудь широком диапазоне температур на кривых  $S(\omega)$  не удастся [7,8].

Ранее мы видели, что если при температуре  $T_{\max}$  на частоте  $\omega$  уровень лежит заметно ниже уровня Ферми ( $E_F \ll E_0$ ), зона-зонная подсветка повышает шум при температуре  $T_{\max}$ . При  $E_F \gg E_0$  подсветка понижает шум. Покажем, что если на частоте анализа  $\omega_0$  при температуре максимума  $T_{0 \max}$  подсветка не влияет на шум ( $dS_{\max}/d\beta = 0$ ), то при температуре  $T_{0 \max}$  уровень Ферми совпадает с исследуемым уровнем  $E_0$  (для случая  $E_1 \gg E_0$ ).

Для этого прежде всего заметим, что при  $E_1 \gg E_0$  условие максимума на зависимости  $S(T)$  во всех случаях имеет вид

$$\omega\tau = 2\pi f\tau_0 F e^{(E_1/kT)} = 1.$$

В самом деле, с учетом температурной зависимости сечения захвата полное выражение для спектральной плотности шума имеет вид

$$S = A\tau_0 \frac{e^{E_1/kT} F^2 (1-F)}{1 + (\omega\tau_0 F e^{E_1/kT})^2}. \quad (13)$$

При  $E_1 \gg E_0$  температурная зависимость  $S$  определяется в основном изменением с температурой сечения захвата. Следовательно, величину  $F$  можно приближенно считать не зависящей от температуры. При этом, дифференцируя  $S$  по  $1/kT$ , получим, что условию максимума соответствует равенство

$$\omega\tau_0 F e^{E_1/kT_{\max}} = aF = 1. \quad (14)$$

С другой стороны, записав условие  $\gamma = dS_{\max}/d\beta = 0$  в виде  $\gamma = (dS/dF) \cdot (dF/d\beta)$ , легко убедиться, что величина  $\gamma$  может равняться нулю только при  $dS/dF = 0$ . Дифференцируя (13) по  $F$ , получим, что  $dS/dF = 0$  при

$$2 - 3F - a^2 F^3 = 0, \quad (15)$$

или, с учетом (14),  $F = 0.5$ . Условие  $F = 0.5$  означает, что уровень Ферми совпадает с исследуемым уровнем.

Таким образом, изменение знака  $dS_{\max}/d\beta$  при температуре максимума  $T_{0 \max}$  соответствует пересечению уровнем Ферми исследуемого уровня.

Интересно отметить, что в случае, когда  $E_0 \gg E_1$ , т.е. когда сечение захвата можно считать не зависящим от температуры, слабая подсветка не должна влиять на уровень шума в максимуме  $S_{\max}$  ни при каких частотах анализа. В самом деле, при  $E_1 = 0$  от температуры зависит только функция заполнения  $F$ :

$$S = A\tau_0 \frac{F^2(1-F)}{1 + (\omega\tau_0 F)^2}. \quad (16)$$

Очевидно, что условие максимума на температурной зависимости шума  $dS/dF = 0$  совпадает с условием  $dS/d\beta = 0$ .

Таким образом, использование зона-зонной подсветки позволяет достаточно просто установить, зависит ли экспоненциально сечение захвата исследуемого уровня от температуры. Отсутствие зависимости шума при  $S = S_{\max}$  от слабой подсветки при всех частотах анализа служит доказательством того, что сечение не зависит или слабо зависит от температуры.

Авторы искренне признательны Н.В. Дьяконовой и М.И. Дьякову за прочтение рукописи и ценные замечания. Мы также искренне признательны за финансовую поддержку настоящей работы Cree Research Inc.

Покажем, что при отсутствии экспоненциальной зависимости сечения захвата уровня от температуры ( $E_1 = 0$ ) условию максимума на температурной зависимости  $S(T)$  может отвечать, в принципе, сколь угодно большое значение  $\omega\tau$ . Дифференцируя (16) по  $F$ , получим, что максимум на зависимости  $S(T)$  отвечает условию

$$2 - 3F - b^2 F^3 = 0, \quad (17)$$

где  $b = \omega\tau_0$ .

При  $b \ll 1$  решение (17)  $F = 2/3$  соответствует хорошо известному условию максимума в области низких частот анализа  $\omega\tau = \omega\tau_0 F \ll 1$ . При  $b \gg 1$  решению (17) отвечает условие

$$F = \sqrt[3]{2/b^2}$$

или

$$\omega\tau = \omega\tau_0 F = \sqrt[3]{2b}. \quad (18)$$

Как правило, при шумовой спектроскопии локальных уровней частотный диапазон анализа составляет 4–6 порядков. Если предположить, что на нижних частотах анализа  $\omega$  максимуму на зависимости  $S(T)$  отвечает условие  $\omega\tau \simeq 1$ , то на верхних частотах значению  $S_{\max}$  будет отвечать условие  $\omega\tau \simeq 30-120$ .

Обычно при построении прямых Аррениуса для определения величины  $E_0$  стараются уменьшить погрешность, откладывая по оси абсцисс не величину  $\tau = 1/\omega = 1/2\pi f$ , а величину  $T^2\tau$ . Таким образом учитывается температурная зависимость тепловой скорости носителей  $v_t$  и плотности состояний  $N_c$ . При этом, однако, принимается, что при  $T = T_{\max}$  на всех частотах выполняется условие  $\omega\tau = 1$ . При изменении частоты анализа на 4–6 порядков температура максимума  $T_{\max}$  редко меняется больше чем в 2 раза. Таким образом, погрешность из-за учета температурной зависимости  $N_c$  и  $v_t$  практически не превышает 4. В то же время погрешность из-за пренебрежения зависимостью величины  $\omega\tau$  от  $\omega$  (при  $T = T_{\max}$ ), как видно из приведенной оценки, может приводить к ошибке на 1.5–2 порядка.

### Список литературы

- [1] J.A. Copeland. IEEE Trans. Electron. Dev., **ED-18**, 50 (1971).
- [2] J. Magarshack, A. Mircea, A. Roussel. Acta Electron., **15**, 233 (1972).
- [3] З.Л. Шоблицкас, В.П. Паленскис. Лит. физ. сб., **35**, 88 (1985).
- [4] Н.В. Дьяконова, М.Е. Левинштейн, С.Л. Румянцев. ФТП, **25**, 355 (1991).
- [5] Н.Б. Лукьянчикова. Лит. физ. сб., **20**, 25 (1980).
- [6] J.R. Kirtley, T.N. Theis, P.M. Mooney, S.L. Wright. J. Appl. Phys., **63**, 1541 (1986).
- [7] D. Sodini, A. Touboul, G. Lecoq, M. Savelli. Electron. Lett., **12**, 42 (1976).
- [8] М.Е. Левинштейн, С.Л. Румянцев. Semicond. Sci. Techn. (1994) (в печати).
- [9] F.J. Scholz, J.W.-Roach. Sol. St. Electron., **35**, 447 (1992).
- [10] K. Kandiah. Proc. 8th Int. Conf. on «Noise in Phys. Syst» and 4th Int. Conf. on «1/f Noise» (Rome, 1985) p. 19.
- [11] D.C. Murray, A.G.R. Evans, J.C. Curter. IEEE Trans. Electron Dev., **ED-38**, 407 (1991).
- [12] Н.В. Дьяконова, М.Е. Левинштейн, С.Л. Румянцев. ФТП, **25**, 2065 (1991).

- [13] Н.В. Дьяконова, М.Е. Левинштейн. ФТП, **23**, 283 (1989).  
[14] В.М. Ботнарюк, Ю.В. Жилиев, А.Г. Кечек, Н.И. Кузнецов, А.А. Лебедев, М.И. Шульга. Письма в ЖТФ, **14**, 181 (1988).  
[15] G.A. Acket, J.J. Scheer. Sol. St. Electron., **14**, 167 (1971).  
[16] М.Е. Левинштейн, С.Л. Румянцев. Письма в ЖТФ, **19**, 55 (1993).

Редактор Л.В. Шаронова

## The use of the band-to-band illumination to determine local level parameters in the noise spectroscopy technique

*M.E. Levinshtein, S.L. Rumyantsev*

A.F. Ioffe Physicotechnical Institute, Russian Academy of Sciences, 194021 St. Petersburg, Russia

The effect of the band-to-band illumination on the generation-recombination noise has been analyzed. It is shown that this illumination makes it possible to determine directly the local level parameters if the capture cross-section of carriers  $\sigma$  depends exponentially on the temperature ( $\sigma = \sigma_0 \exp(E_1/kT)$ ). For the case when the capture cross-section depends on the temperature exponentially, this technique allows to find the parameters of local levels,  $E_1 \gg E_0$  ( $E_0$  being the level position in the forbidden gap). In the limiting cases, when Fermi level  $E_F$  lies significantly below ( $(E_F - E_0) \gg kT$ ) or above ( $(E_F - E_0) \ll kT$ ) in relation to  $E_0$  level, simple analytical expressions have been obtained. Computer simulations agree well with the analytical expressions obtained.

---